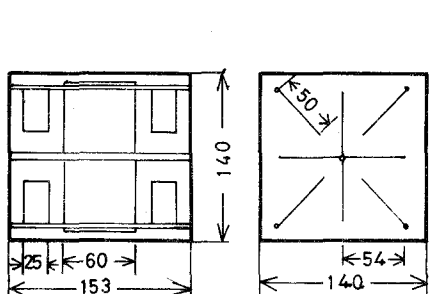
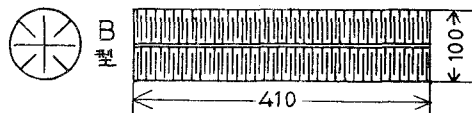
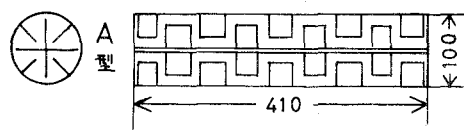


九州大学 工学部 学生員 ○富田 浩章  
 九州大学 工学部 正員 楠田 哲也  
 九州大学 工学部 正員 古賀 寛一  
 九州大学 工学部 正員 粟谷 陽一

**I まえがき** フロック形成槽内のフロック成長速度を示す物理的パラメーターとして Camp の  $G$  値、GT 値<sup>1)</sup> 円保らによる CGT 値<sup>2)</sup> が提案されている。Camp の示した  $G$  値はフロック形成槽内で消費される攪拌エネルギーの空間的平均値を採用しており  $G$  値の空間分布まで考慮していない。一方円保らによる  $G$  値は濁質の除去速度より逆算して求める方法であるため、フロックの衝突着効率の影響を受け適切な指標にはなり得ない。著者らは形成槽における  $G$  値の空間分布がフロック形成に及ぼす影響について検討を加えてきた。<sup>3)4)</sup> 今回は構造の異なるフロック形成槽を用いて実験を行なり、乱流構造の差がフロック形成に及ぼす影響について検討を加え、若干の知見を得たので報告する。

**II 実験装置とその方法** 実験装置を図 1 に示す。装置の容器は全てアクリル製である。ジャーテスターは図に示すように円筒型と箱型の 5 種類(A, B, C, D, E)を用いた。円筒型ジャーテスターは内径 10 cm, 長さ 41 cm のアクリルパイプに固定翼と回転翼を取り付けている。A 型における回転翼と固定翼は各々長さ 3 cm, 幅 3 cm, 厚 1 mm の真鍮製であり、それらの間隔は 1 cm である。B 型における回転翼と固定翼は長さ 4 cm, 直径 3 mm<sup>2</sup> の真鍮製の棒を翼間の間隔が 3 mm となるように取り付けたものである。箱型ジャーテスターの内の C 型ジャーテスターは 13 cm × 14 cm × 15.3 cm (容量 3 l) の大きさで回転翼は 8.5 cm × 2.3 cm × 0.1 cm の真鍮板からなり、固定翼は設けていない。D 型ジャーテスターは大きさ、容積共に C 型と同じであり、回転翼は 5 cm × 6.0 cm × 0.1 cm、固定翼は 2.5 cm × 5 cm の真鍮板を側面の様に取り付けたものである。E 型は 18 l で長さ 60 cm, 幅 60 cm, 高さ 60 cm の大きさである。実験方法としてはまず、学内水道水を満たした攪拌槽に所定量の硫酸ナトリウム、アルギン酸ソーダー、硫酸バンドをこの順で注入し、所定の攪拌強度でフロック形成を行なう。所定の時間間隔で粒度分布を得るためにサンプリングを行なって顕微鏡撮影あるいは接写撮影を行なう。

**III 実験結果及び考察** 図 2 は体積メドアン径(以下  $d_{50}$  と称す)と攪拌継続時間との関係で C 型ジャーテスターを例に取り示したものである。この図において従来と同様に  $d_{50}$  には最大値( $d_{50\text{max}}$ )があり、このことは硫酸バンドのみ



D型

C; E型

( )内の数値は C型

図 1 単位 mm

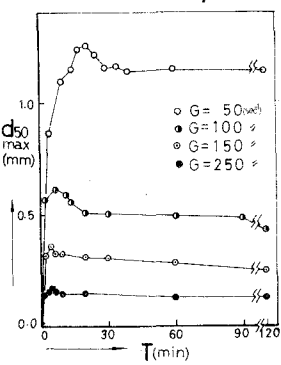


図 2

で形成したフロック及び、凝集補助剤としてセパランを用いた場合のフロックと同様の傾向を示している。 $d_{50m}$ に達した時点での粒度分布型の1例を図3、図4に示す。図3はB型についてのものであり、図4はD型についてのものである。これららの図から $d_{50m}$ に達した時点での粒度分布にはほぼ相似性が成立し、他の例でも同様なことが認められた。 $d_{50m}$ とG値との関係を図5に示す。図中の記号はジャー・テスターの型を表めている。図5においては容器の大きさ・攪拌構造が異なっても各ジャー・テスターについて  $d_{50m} \sim G^{0.8 \sim 1.1}$  がほぼ成立しているようである。さらに同一G値に対してはB型のフロックが最小値を示しD型のものが最大値を示している。A,C,E型については $d_{50m}$ に明瞭な差が認められなかつた。図6~9は各々B,C,D,E型において攪拌強度を  $G = 50 \text{ sec}^{-1}$  として成長させたフロックの時刻を付近における沈降速度と粒径との関係を示したものである。これらの図においてB,D型により形成させたフロックの沈降速度はほぼ一直線上にあり、C型とE型と比較しても同様な傾向を示している。著者らが以前行なった実験によればA型とB型により成長させたフロックの沈降速度を比較した場合、同一粒径でもA型の方が大きくなつた事、さらには搅拌翼が大きい程同一粒径の沈降速度は大きくなっている事を合わせて考えると、B型,D型について今回得られた結果は従来のものと異なるものとなる。このことに關しては、さらに実験を繰り返して検討を加えの予定である。D型とC,E型の沈降速度を比較した場合、固定翼を設けてなりC,E型の方がD型に対して同一G値を得るためのエネルギー散逸を回転翼よりかなり消費する必要があるため、前者のG値の空間分布が後者のものよりかなり偏ったものとなり、その空間的に高いG値によりフロックが生まれ効果を受け沈降速度が増加し、あるいは破壊により図5にみられる様に、D型の $d_{50m}$ が他のものより大きさを示してしまふと考えられるが今後得られたデータのみでは結論は出し得ない。図10は4分静置後上の上澄濃度を表わしたがD型はC型よりも上澄濃度の除去率はよく、E型が最も除去率が悪いようである。今後、実験を繰り返し行ない、流体の乱れ特性まで考慮して検討を加えた。

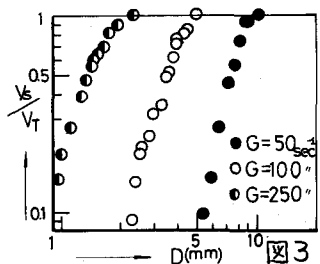


図3

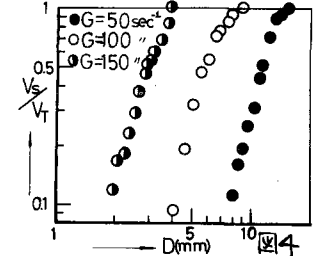


図4

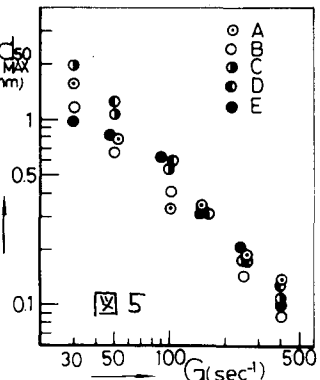


図5

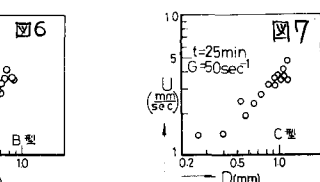


図6

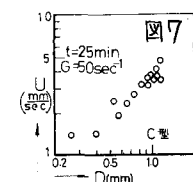


図7

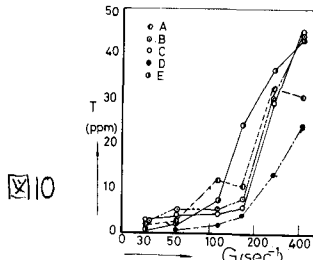


図10

## 参考文献

- 1) T.R.Camp, P.C.Stein; Velocity Gradients and internal work in fluid motion Jour. Boston Society of Civil Eng Vol.60 1943/10
- 2) T.R.Camp; Flocculation and Flocculation basins, Proc. A.S.C.E. Vol.79, No.283, 9.283-1 1953
- 3) 内保實に、渡辺義公; フロッカーレーターの合理的設計(II), 水道協会雑誌 No.441 昭46.6 P.2~14
- 4) 横田哲也等; フロック形成槽内のG値の空間分布が形成における影響, 水道研究発表会講演集第26回 昭50年 P.222~224
- 5) 横田哲也; フロック形成条件がその性質に及ぼす影響, 土木学会論文報告集 N.0217, 1973.9